

22. Goniadidae Kinberg, 1866

Jesús Angel de León-González, María Elena García-Garza
& María Ana Tovar-Hernández

Universidad Autónoma de Nuevo León, Facultad de Ciencias Biológicas
jesus.deleongn@uanl.edu.mx

Introducción

Goniadidae incluye a poliquetos excavadores muy activos de cuerpo largo y cilíndrico (Fig. 1A). Se caracterizan por presentar un prostomio cónico y anulado, y una faringe muscular muy distintiva, también larga, cilíndrica, cubierta de papilas (Fig. 1B-D) y equipada con un par de mandíbulas (macrognatos), con numerosas estructuras quitinosas en forma de dientes dispuestos en círculo (micrognatos) (Fig. 1E). La armadura de la faringe puede presentar como peculiaridad, unas hileras laterales de chevrones, que son piezas esclerotizadas y oscuras en forma de "V" (Fig. 1B-E).

La familia presenta una amplia distribución mundial, hallándose en todas las profundidades marinas. Los goniádidos habitan en galerías ya sea de manera temporal o permanente, y son carnívoros (Jumars *et al.* 2015). En algunos goniádidos los ganchos de los macro y micrognatos apuntan hacia atrás (Fig. 1E), por lo que no pueden ser utilizados para cazar a sus presas, pero posiblemente para asegurar a su presa dentro de su galería (Silberstein, 1987).

Por lo general, los goniádidos son confundidos con especies de la familia Glyceridae, por lo que están estrechamente relacionados. Si la faringe está evertida, es fácil distinguir las dos familias, los goniádidos solo tienen un par de mandíbulas (macrognatos) y un número variable de micrognatos dorsales y ventrales dispuestos en círculo (Fig. 1E), y a veces chevrones laterales (Fig. 1C-D), mientras que los glicéridos poseen cuatro mandíbulas dispuestas en cruz, cada una con un alerón que es una placa accesoria y conectadas a las glándulas de veneno (ver capítulo Glyceridae Grube, 1850 de este libro).

Los parapodios son también útiles para distinguir a los goniádidos, por lo general carecen

de lóbulos notopodiales en los setíferos anteriores y, en los posteriores generalmente presentan lóbulos bien desarrollados (excepto en *Progoniada*); mientras que en los glicéridos los lóbulos notopodiales están presentes a lo largo del cuerpo en *Glycera* y *Glycerella*, pero *Hemipodia* carece completamente de lóbulos notopodiales.

Sistemática

La primera especie descrita en el grupo fue *Goniada eremita* Audouin y Milne-Edwards, 1833, de Nice, Francia; junto con *Glycera* y *Nephtys*, fue incluida en el grupo denominado "Nereidins non tentaculés". Más tarde, Grube (1850, 1851) estableció la familia Glyceridae como Glyceria, para incluir dos géneros *Glycera* y *Goniada* dentro del suborden Rapacia.

Posteriormente, Kinberg (1866) precisó que había caracteres distintivos de ambos géneros que permitían el reconocimiento de dos familias diferentes, por lo que Goniadidae y Glyceridae deberían separarse. Esta separación fue controversial por un tiempo, pero Hartman (1950) reconoció las familias Glyceridae y Goniadidae destacando los caracteres que las definen actualmente.

Fauchald (1977) agrupó a Glyceridae y Goniadidae dentro de Glyceriformia. Ambas familias se ubican dentro de Phyllodocida (Rouse & Fauchald 1997, Zrzavý *et al.* 2009, Struck *et al.* 2011, Struck 2019), pero también hay hipótesis en las que los goniádidos muestran afinidades con Lumbrineridae y Onuphidae (Rousset *et al.* 2007; Struck *et al.* 2011).

Böggemann (2005) hizo la revisión mundial de la familia, trabajo que sigue siendo la principal obra de referencia en el estudio de estos

gusanos hasta nuestros días. Su revisión incluye numerosas especies con amplia distribución. Por ejemplo, *Goniada maculata*, una especie descrita para Prope Hellebaek (Dinamarca), fue registrada en el Atlántico Norte, en el Gran Caribe, en el Mar de Barents, el Mediterráneo, el Atlántico sur, el Mar de Bering, el Pacífico norte y el Pacífico sureste, desde la zona de intermarea hasta los 3859 m de profundidad. Quizá, como ocurre en otras familias, el uso de herramientas moleculares y el estudio detallado de la variabilidad ontogenética permitirá en un futuro definir los límites de las especies de goniádidos y aclarar su distribución.

Actualmente se reconocen 90 especies y 12 géneros; sin embargo, en WoRMS (Read & Fauchald, 2020) no se reconocen nueve especies ni el género *Ophiogoniada* propuestos por Böggemann (2005) pero sí en una versión previa de World Polychaeta Database aún disponible en línea (Read & Fauchald, 2018). Desde que se publicó la primera edición de este capítulo (de León-González & García-Garza 2009), la familia no ha tenido cambios significativos, pues no se han establecido nuevas especies o géneros de goniádidos, ni se han realizado nuevas revisiones. Únicamente existen registros en listados taxonómicos y estudios ecológicos regionales. Para América tropical se han reportado 28 especies en siete géneros (Tabla).

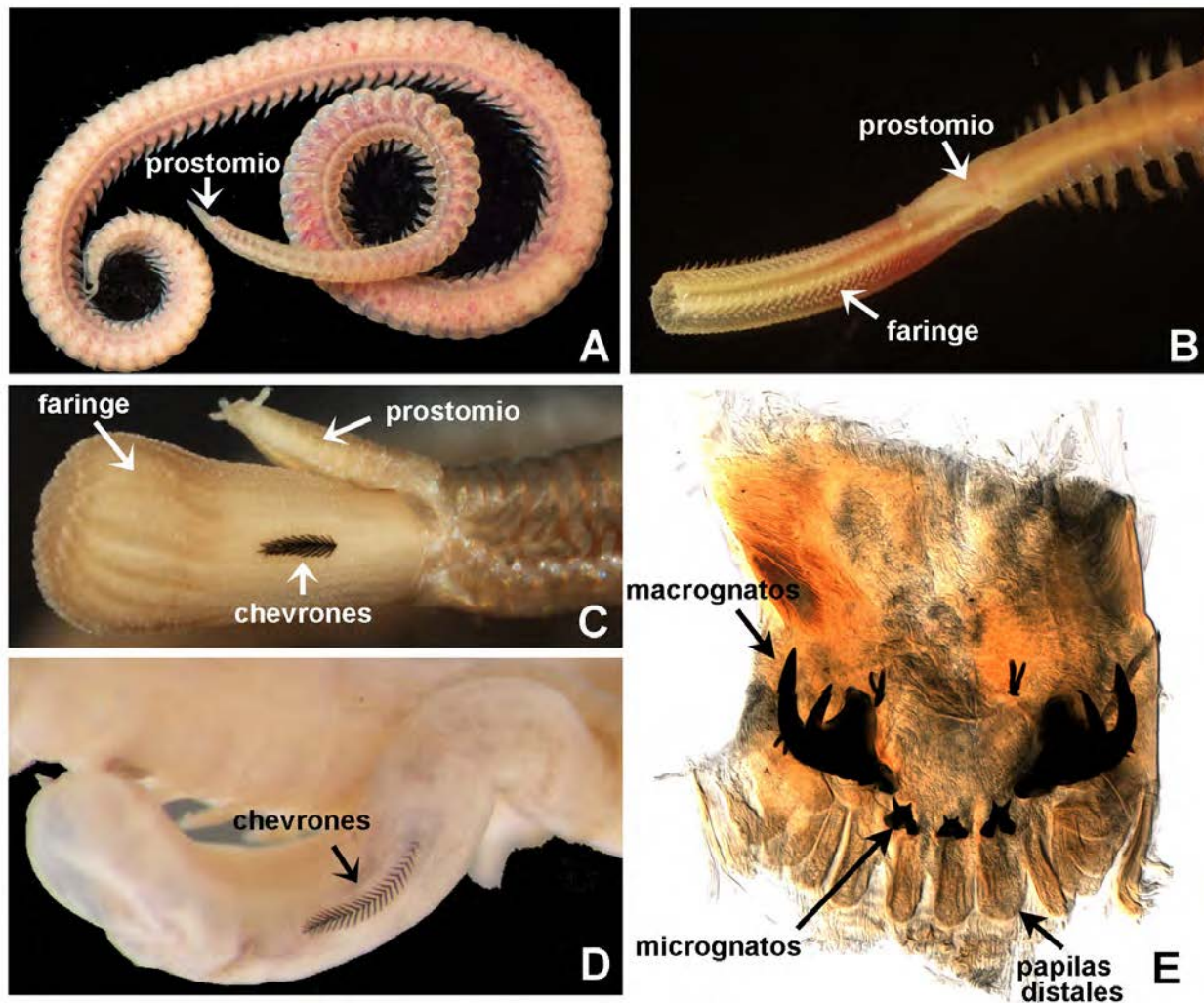


Figura 1. Cuerpo de un goniádido, faringe y estructuras accesorias. A) Cuerpo completo, B–D) prostomios y faringes evertidas, E) macrognatos, micrognatos y papilas distales. Fuentes: A) Geoffrey Read, NIWA, vía Twitter, B) Andrew Mackie, National Museum Wales, vía Twitter, C) Southern California Coastal Water Research vía Encyclopedia of Life, D) Tim Worsfold, APEM Ltd, vía WoRMS, E) D. Drew, Yale Peabody Museum of Natural History vía WoRMS.

Morfología

El cuerpo de los goniádidos es alargado y cilíndrico (Fig. 1A). Su talla oscila entre 1 cm hasta 1 m (Böggemann 2005).

Los caracteres más importantes para la identificación de las especies se localizan en la faringe: forma, número y arreglo de los macrognatos y micrognatos, presencia y número de chevrones, la estructura y distribución de las papilas faríngeas, forma de los parapodios en las diferentes regiones del cuerpo, así como el número y forma de lóbulos pre y potsetales, y la forma y posición de las setas.

Región cefálica. El prostomio es cónico y tiene un número variado de anillos, de los cuales el basal tiene un par de órganos nucales y el terminal dos pares de apéndices prostomiales (Fig. 2A). Los órganos nucales consisten en un par de estructuras sensoriales ciliadas epidérmicas, localizadas dorsalmente en la región posterior del prostomio; sin embargo, no son visibles fácilmente en juveniles. Los apéndices prostomiales son considerados junto a los órganos nucales como quimiorreceptores (Whittle & Zahid 1974). Algunas especies pueden presentar un par de ojos subdermales en posición subdistal y/o basal. Esta característica es de importancia taxonómica en algunas especies de *Goniada*, pero en algunos casos estos pueden estar ocultos por el integumento, e inclusive perderse en el estado adulto o desaparecer por efecto de la fijación. El peristomio está limitado al segmento donde se encuentra la abertura oral (Fauchald & Rouse 1997; Rouse y Pleijel 2001).

Faringe. Los goniádidos tienen una faringe muscular fuerte, la cual es eversible, típica del Orden Phyllococida (Dales 1962; Purschke 1988). La faringe está constituida por un anillo de papilas terminales suaves, macro y/o micrognatos, numerosas papilas faríngeas y algunas veces chevrones adicionales (Figs. 1B–E, 2A–D).

Hartman (1950) dividió la superficie externa de una faringe evertida en áreas bien definidas de la I a la VI (Fig. 2D). Para distinguirlas es necesario visualizar la faringe manteniendo la parte dorsal hacia arriba como se detalla a

continuación (Fig. 2D):

Área I: es simple, medio–dorsal, presenta de una a varias hileras de papilas pequeñas y cónicas, en forma de tetera, o cónicas a digitiformes con una placa terminal. *Goniadides* carece de papilas en esta área.

Área II: es pareada y dorso–lateral. Consiste en varias hileras de papilas (3, 5 o 6 hileras) dispuestas en series oblicuas y se numera de la siguiente forma: II–1 (dorsal) hasta la II–6 (lateral).

Área III: es pareada y lateral. Esta tiene entre una a varias hileras de papilas pequeñas, globulares a cónicas, en forma de canoa o rectangulares con picos laterales más o menos desarrollados.

Área IV: es pareada, latero–ventral. Tiene una hilera de papilas pequeñas y cónicas a globulares. Las papilas cónicas tienen una estructura en forma de “pata de pato” en el lado posterior.

Área V: es pareada, ventro–lateral. Tiene una hilera de papilas globulares a redondas, o cónicas con una estructura en forma de “pata de pato”, cónicas rectas, y usualmente con puntas bifidas o trifidas en la parte media de la faringe.

Área VI: es simple, medio–ventral. Siempre carece de papilas.

Papilas. Las papilas usualmente son duras, gruesas y esclerotizadas. Presentan depresiones subapicales en forma de taza que contienen paquetes de cilios cortos.

Las papilas distales están bien desarrolladas (Fig. 1E), cada una presenta una hilera de células sensoriales (Hartman 1950). Las papilas que cubren toda la superficie de la faringe son diminutas y presentan formas variadas dependiendo del género o la especie. Es necesario examinar las papilas en cada una de las áreas de la faringe, pues los tipos y formas varían de la zona dorsal a la ventral, tanto como de la zona basal a la terminal. Inclusive, se recomienda revisarlas desde diferentes ángulos, pues su forma puede variar dependiendo de su posición (Fig. 3A1–A3). La revisión de Böggemann (2005) incluye imágenes de las papilas de cada especie en todos los ángulos, por lo que se sugiere su uso.

En *Goniada* se pueden encontrar papilas en forma de corazón con una gran cantidad de variantes (Fig. 3A1, C1) y con márgenes lisos o dentados; en forma de campana (Fig. 3B1–B2, F1–F3); cónicas con el extremo anterior delgado y la

base ancha (Fig. 3D1–D2); en forma de corona con hasta 5 dientes superiores; globulares distalmente bifidas; y en forma de “tetera” (Fig. 3E1–E2).

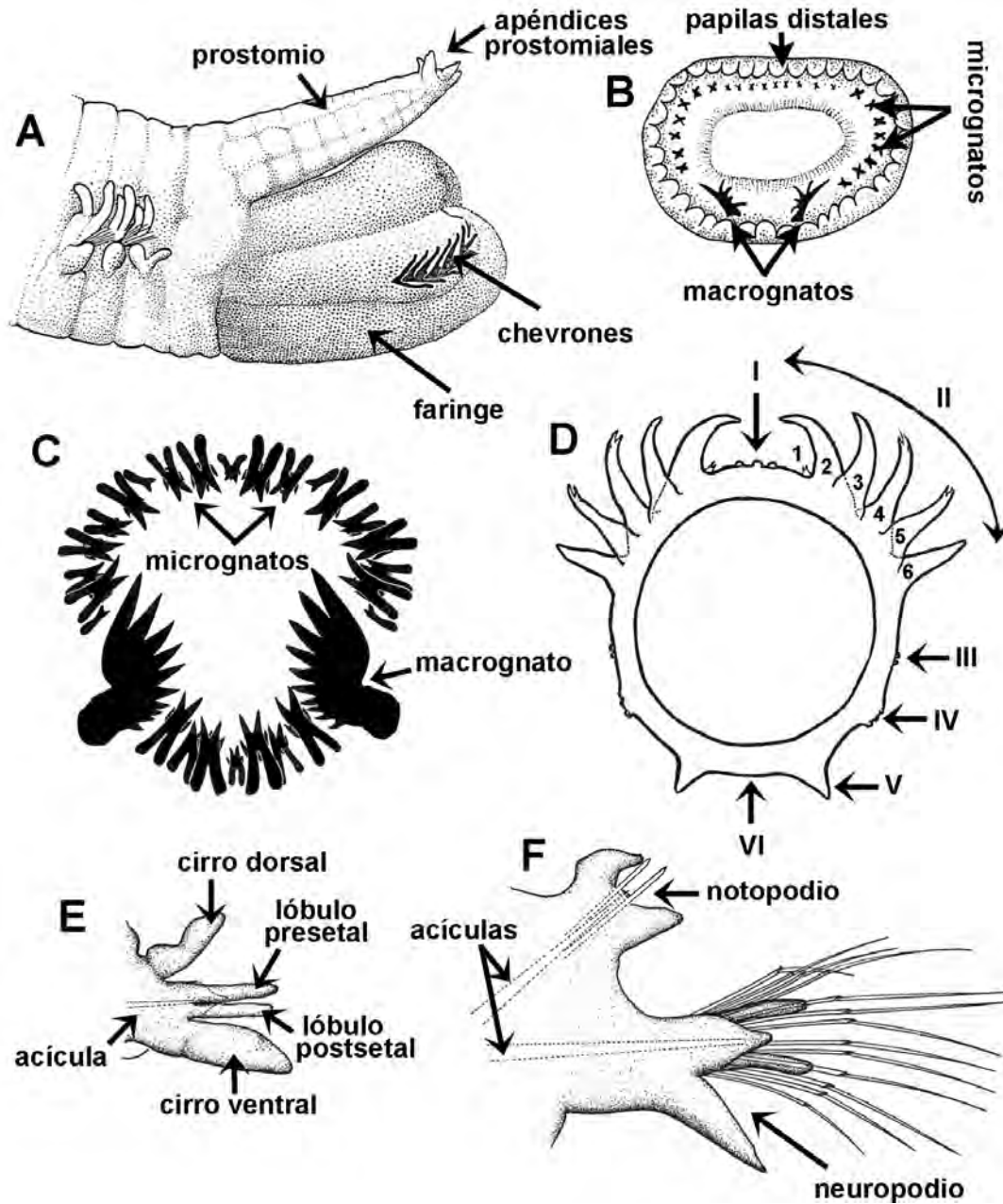


Figura 2. Prostomio, faringe y parápodos en Goniadidae. A) Prostomio y faringe en vista lateral, B) apertura distal de una faringe evertida en vista frontal mostrando la disposición de las papilas distales, macro y micrognatos, C) armadura mostrando los macro y micrognatos dorsales y ventrales, D) zonación de la faringe de acuerdo con Hartman (1950), E) parapodio unirámico, F) parapodio birámico. Modificadas de: A–B) Wilson 2001, C, E–F) Gallardo 1968, D) Hartman 1950.

En *Goniadella* además de las papilas en forma de corazón y distalmente bifidas, se encuentran otras alargadas y ligeramente curvas en forma de gancho (Fig. 4A). *Ophiogoniada* posee pocos tipos de papilas, entre las que se

encuentran las redondeadas (Fig. 4B) o en forma de campana (Fig. 3B1, F1), y las que tienen forma de "uña", de dos tipos, cortas y largas (Fig. 4C-D).

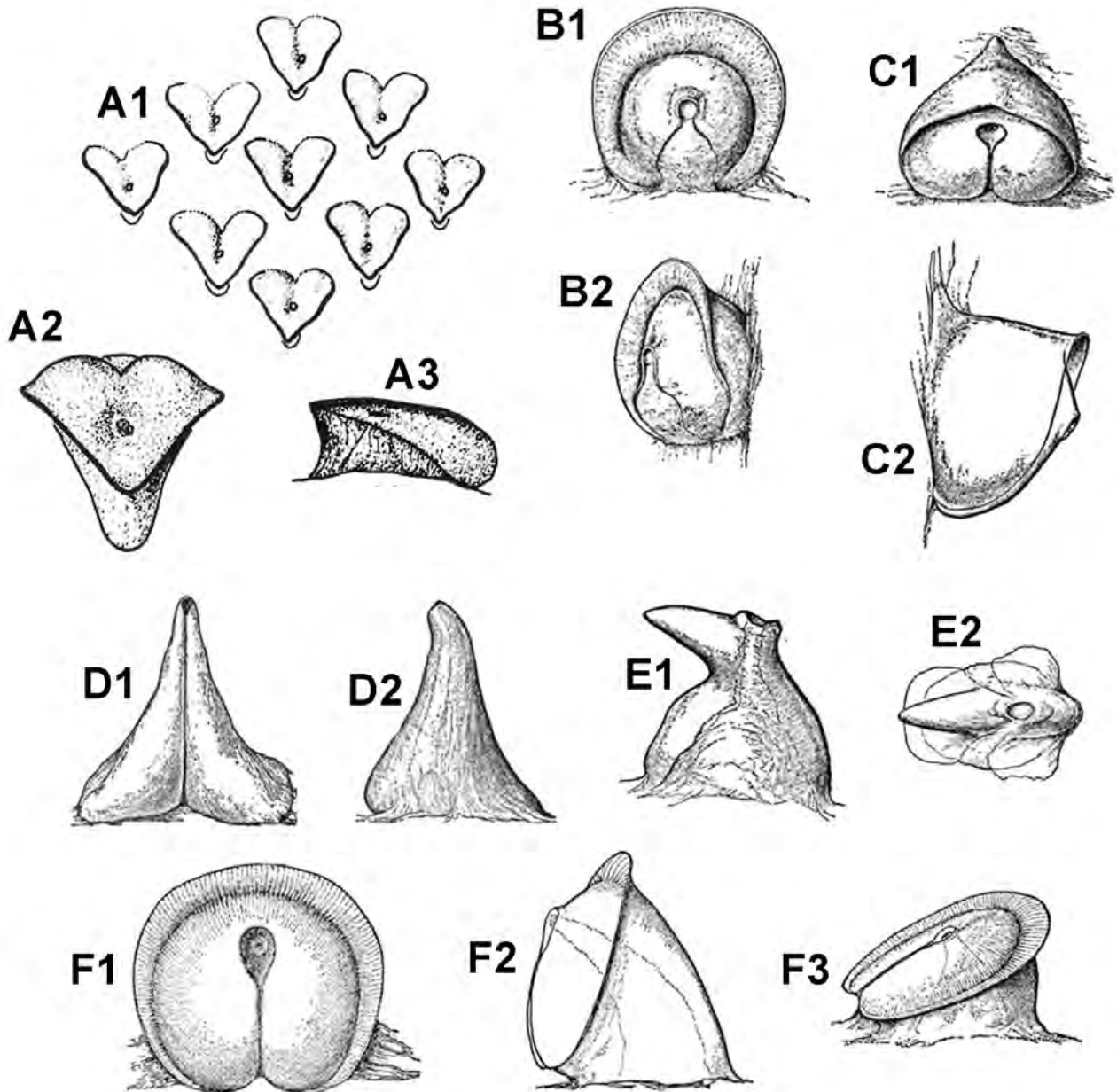


Figura 3. Papilas faríngeas. A) Forma de corazón, A1) vista apical, A2) vista frontal, A3) vista lateral, B) forma de campana, B1) vista frontal, B2) vista lateral, C) forma de corazón, C1) vista apical, C2) vista lateral, D) forma cónica, D1) vista frontal, D2) vista posterior, E) forma de tetera, E1) vista lateral, E2) vista apical, F) forma de campana, F1) vista frontal, F2) vista lateral con la base extendida, F3) vista lateral con la base retraída. Modificadas de: A) Gallardo (1968), B-F) Hartman (1950).

Goniadides, *Bathyglycinde* y *Glycinde* presentan papilas arregladas en 5 a 6 grupos longitudinales bien definidos, destacando los del grupo II que se dividen a su vez en 3 a 6 subgrupos: 3 subgrupos en *Goniadides*, y 6 en *Bathyglycinde* y *Glycinde*; *Bathyglycinde* tiene varios tipos de papilas, entre estos las del área I, donde aparecen algunas pequeñas tridentadas (Fig. 4E), y pedunculadas con una proyección distal en forma de placa (Fig.

4H, I). El área IV de algunas especies de *Glycinde* presenta papilas con proyecciones distales en forma de "pata de pato" con pedúnculo o sin él (Fig. 4J, K). El área V posee a su vez, varios tipos de papilas, las descritas anteriormente en forma de "pata de pato", algunas bidentadas con la base amplia (Fig. 4L) y, triangulares con la base muy amplia (Fig. 4M).

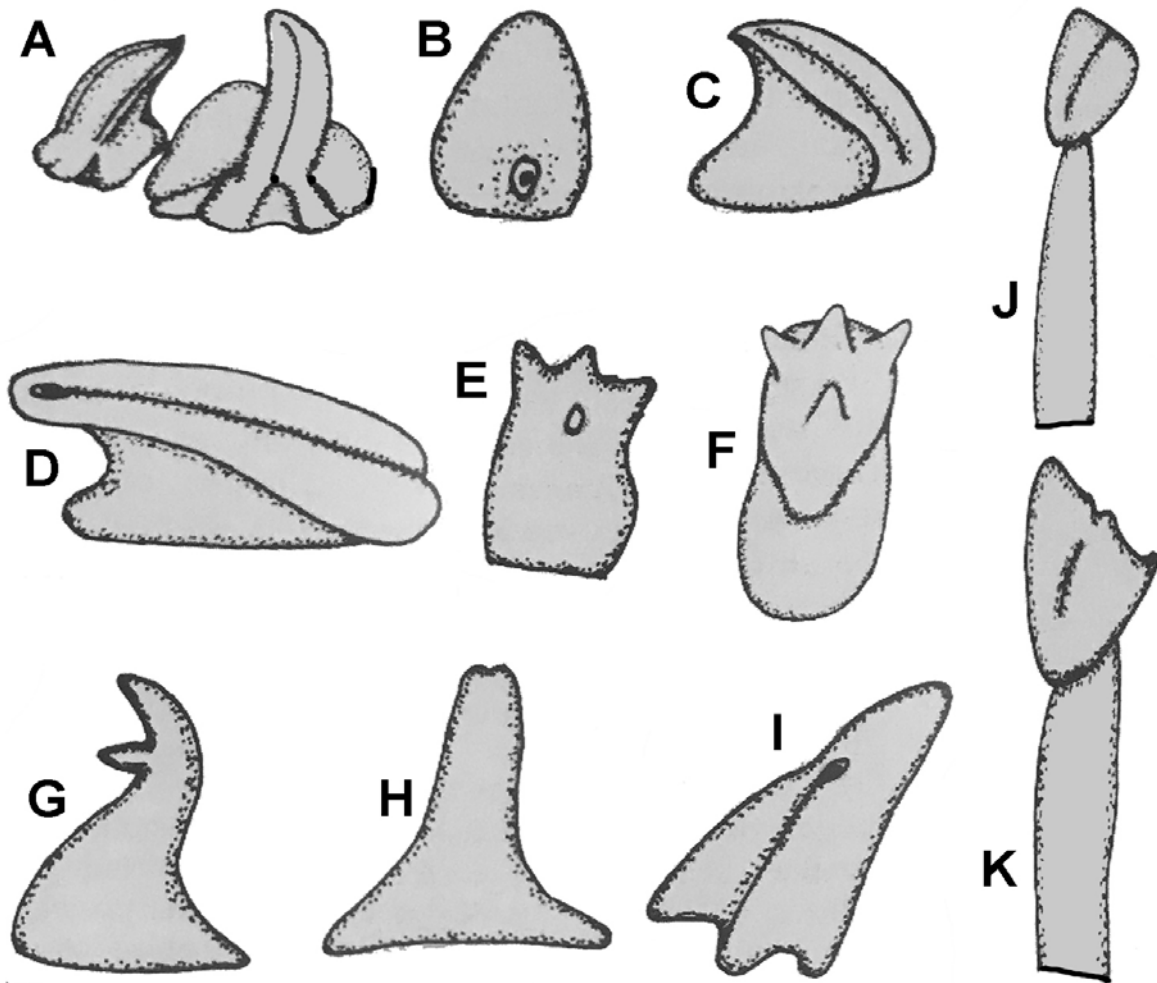


Figura 4. Tipos de papilas. A) en forma de gancho, B) oval, blobular a redondeada, C) uña corta, D) uña larga, E) tridentada, F) pedunculada en forma de pata de pato, G) bidentada con base amplia, H) triangular con base amplia, I) en forma de pata de pato sin pedúnculo, J-K) pedunculadas. Modificadas de: de León-González & García-Garza 2009.

Mandíbulas. Las mandíbulas presentan una coloración café a negro dependiendo del grado de madurez del espécimen y pueden ser observadas aunque la faringe no esté completamente evertida,

ya que la pared del cuerpo de los goniádidos es más o menos transparente, pero para la identificación es necesario diseccionarlas en caso de que este invertida.

Macrognatos y micrognatos. Las mandíbulas presentan un par de macrognatos (Fig. 5N) que tienen una zona basal embebida en el tejido de la faringe, y un número variable de micrognatos (Figs. 1E, 2B–C). Los macrognatos presentan dientes de diferente tamaño. Los micrognatos aumentan en número de acuerdo con el tamaño del ejemplar. Además, en algunos géneros se localizan líneas laterales de chevrones, cada uno en forma de “V” (Figs. 1C–D, 2A, 5O–Q).

Los micrognatos consisten de una pieza (simples) (Fig. 5A–I) o de dos piezas (compuestos) (Fig. 5J–M) y están dispuestos en una o varias hileras, formando un arco ventral y/o uno dorsal. La parte basal de los micrognatos está anclada al tejido mientras que las puntas están proyectadas hacia afuera. Por lo general el tamaño de los micrognatos decrece hacia la parte distal de la faringe cuando hay más de una hilera. El arco ventral de los micrognatos está ausente en algunas de las especies de *Bathyglycinde*, *Glycinde* y *Goniadides*. En algunas especies, el número de micrognatos puede presentar variación que podría ser dependiente de la edad de los especímenes.

Los micrognatos simples tienen formas bidentadas (en forma de “V” con dientes delgados o gruesos) (Fig. 5A–B, F), tridentadas (Fig. 5C), tetradentadas (Fig. 5D), en forma de corona (Fig. 5E), en forma de “X” (Fig. 5G), de “Y” invertida con puntas bífidas (Fig. 5H) o con forma de bastón con puntas bífidas (Fig. 5I). Algunas especies presentan en el arco dorsal cuatro pequeños micrognatos en forma de bastón, otros en forma de “H” o de “X”.

Los micrognatos compuestos presentan una pieza mayor en forma de “H” (Fig. 5J), “W” o “VV” dependiendo del número de cúspides que presenten, y de una pieza pequeña. Las piezas pequeñas tienen diferentes formas: con dos cúspides en forma de “v” (Fig. 5K), tres cúspides en forma de “w” (Fig. 5J, L) o cuatro cúspides en forma “vv” (Fig. 5M). Böggemann (2005) utilizó fórmulas para describir el arreglo y la forma de los micrognatos compuestos, por ejemplo: “H+v” (Fig. 5K), “H+w” (Fig. 5J, L), “H+vv” (Fig. 5M), “W+v/w/vv” o “VV+v/w/vv”.

Chevrones. Los chevrones son una serie de placas oscuras en forma de “V” (Fig. 1C–D), pueden ser visibles a través de la pared del cuerpo; estas estructuras están involucradas en la captura de la

presa. Se presentan sólo en los géneros *Goniada*, *Goniadella* y *Progoniada*. En la mayoría de las especies la forma de los chevrones es similar (Fig. 5O–Q), por lo cual no es un carácter distintivo, aunque no se ha evaluado su variabilidad de acuerdo con la ontogenia.

Segmentos. El cuerpo presenta numerosos segmentos que pueden ser uni, bi o trianulados. En *Goniadopsis* hay tubérculos distintivos dorsalmente a cada lado de los segmentos de la región media del cuerpo.

Cada segmento tiene usualmente un par de parapodios y setas asociadas bien desarrolladas en la parte media del cuerpo. Las estructuras parapodiales del primer segmento a menudo difieren en forma y tamaño de los siguientes. En numerosas especies el primer segmento es apodo y aqueto, con solo un par de pequeños cirros laterales que se presentan generalmente en organismos juveniles.

El cuerpo está dividido en una región anterior con parapodios unirrámeos (Fig. 2E), seguida de una región posterior con parapodios birrámeos (Fig. 2F) o subbirrámeos, a excepción de *Progoniada*, el cual tiene parapodios unirrámeos a lo largo del cuerpo. Pueden presentar una región media transicional con cambios graduales en los parapodios. Todos los parapodios tienen cirros dorsales y ventrales insertos en la base (Fig. 2E).

Parapodios. Presentan parapodios unirrámeos (Fig. 2E), subbirrámeos y/o birrámeos (Fig. 2F). El cambio puede ser abrupto entre los diferentes tipos, o presentarse una región media transicional que puede tener cambios graduales.

Los parapodios unirrámeos consisten de un cirro dorsal, un neuropodio con una acícula simple, uno o dos lóbulos presetales y un lóbulo potsetal, así como un cirro ventral (Fig. 2E). Los parapodios birrámeos tienen una acícula adicional en el notopodio, con sólo un lóbulo, o se encuentra subdividido en un lóbulo pre y postsetal en especímenes mayores (Fig. 2F). En el parapodio subbirrámeo el lóbulo notopodial está ausente y el notopodio está representado únicamente por una acícula y una seta.

Setas. Las setas no presentan gran diversidad, pero la forma y arreglo de los diferentes tipos son de

importancia genérica. Las notosetas forman fascículos más o menos densos de setas capilares simples que son delgadas, rectas o ligeramente curvadas (Fig. 6A), o setas aciculares, que en las especies de *Glycinde* son robustas y distalmente curvas (Fig. 6E–F). Las neurosetas son compuestas: espiníferos (Fig. 6C), falcíferos (Fig. 6D) y setas tipo “lira” (Fig. 6H).

Consideraciones para este capítulo

La tabla contiene los nombres de las especies registradas para América tropical hasta el primer trimestre de 2020, su localidad tipo (tan completa y específica como citada en la literatura

original) y los registros de acuerdo a cada una de las ecorregiones: Costa occidental de Baja California (B), Pacífico oriental tropical (P), Golfo de México (G), Gran Caribe (C), (Q) indica un registro cuestionable.

La gran mayoría de las referencias de las especies reportadas en América tropical se encuentran en las compilaciones de Salazar–Vallejo & Londoño–Mesa (2004) para el POT y algunas para la PC; Dean (2012) para el GC; Fauchald *et al.* (2009) para el Golfo de México, aquí considerado dentro del GC; Villalobos–Guerrero & Molina–Acevedo (2014) y Tovar–Hernández *et al.* 2019 para el golfo de California (POT).

Clave a géneros

Modificada de Böggemann (2005)

- | | |
|--|--|
| 1 Faringe con chevrones (Fig. 1C–D) | 2 |
| – Faringe sin chevrones | 4 |
| 2(1) Neuropodios con falcíferos (Fig. 6D) y espiníferos (Fig. 6B–C); parapodios birrámeos (Fig. 2F) o subbirrámeos y/o unirrámeos (Fig. 2E) | 3 |
| – Usualmente todos los neuropodios con espiníferos (Fig. 6B–C); parapodios unirrámeos anteriores y birrámeos posteriores | <i>Goniada</i> Audouin & H Milne-Edwards, 1833 |
| 3(2) Parapodios birrámeos (Fig. 2F) o subbirrámeos | <i>Goniadella</i> Hartman, 1950 |
| – Todos los parapodios unirrámeos (Fig. 2E) | <i>Progoniada</i> Hartman, 1965 ... <i>P. regularis</i> Hartman, 1965 (C) |
| 4(1) Papilas faríngeas muy similares, en arreglo irregular; neurosetas en forma de “lira” (Fig. 6H) ... | <i>Ophiogoniada</i> Böggemann, 2005 <i>O. lyra</i> (Granados–Barba & Solís Weiss, 1997) ¹ (G) |
| – Papilas faríngeas de diferentes tipos, en arreglos longitudinalmente notorios; neurosetas de otro tipo | 5 |
| 5(4) Con parapodios birrámeos (Fig. 2F); notosetas capilares o aciculares | 6 |
| – Con parapodios subbirrámeos; notosetas aciculares rectas o ligeramente curvas | <i>Goniadides</i> Hartman–Schröder, 1960 |
| 6(5) Notosetas capilares (Fig. 6A) | <i>Bathyglycinde</i> Fauchald, 1972 |
| – Notosetas aciculares rectas o curvas (Fig. 6E–F)..... | <i>Glycinde</i> Müller, 1858 |

Comentario

- 1) *Ophiogoniada* fue establecido por Böggemann (2005) para *Ophioglycera lyra* Granados–Barba & Solís–Weiss, 1997, descrita para la sonda de Campeche (Golfo de México), reportada además por Böggemann (2005) para Alabama, Louisiana y Texas (Estados Unidos). *Ophiogoniadida* no es incluido en WoRMS (Read & Fauchald 2020).

Bathyglycinde Fauchald, 1972

- 1 Parapodios posteriores con dos lóbulos presetales neuropodiales; área faríngea II con 5 líneas de papilas 2
 – Parapodios posteriores con solo un lóbulo presetal neuropodial; área faríngea II con 6 líneas de papilas *B. profunda* (Hartman & Fauchald, 1971)¹ (C)
- 2(1) Faringe con numerosos micrognatos dorsales 3
 – Faringe con 6 micrognatos dorsales compuestos (H+v) (Fig. 5K); con 19–20 setíferos unirrámeos *B. mexicana* Fauchald, 1972 (P)
- 3(2) Prostomio con cuatro anillos irregulares poco notorios; 24–32 setíferos unirrámeos *B. lindbergi* (Uschakov, 1955) (P)
 – Prostomio sin anillos, con un par de surcos laterales longitudinales; 36–38 setíferos unirrámeos *B. stepaniantsae* (Averinev, 1972) (P)

Comentario

- 1) *Bathyglycinde profunda* fue originalmente descrita en el género *Glycinde*, se recolectó en aguas profundas del Atlántico entre 1500 y 5023 m de profundidad, en el norte de Bermuda y el Noreste de Brasil (Hartman & Fauchald, 1971; Rizzo & Amaral, 2004).

Glycinde Müller, 1858

- 1 Área faríngea V con una línea de papilas en forma de huella de “pata de pato” (Fig. 4I) 2
 – Área faríngea V con una línea de papilas cónicas (Fig. 3D1–D2) 3
- 2(1) Área II–I con papilas cortas unidentadas de base amplia; 4–28 micrognatos dorsales en forma H+v/w (Fig. 5K–L), sin micrognatos ventrales *G. multident* Müller en Grube, 1859¹ (G, P)
 – Área II–I con papilas tridentadas (Fig. 4E); 4–40 micrognatos dorsales en forma H+v/w (Fig. 5K–L); 0–8 micrognatos ventrales en forma H+v/w *G. picta* Berkeley, 1927² (P)
- 3(1) Con 26–32 setíferos unirrámeos; área I con tres líneas de papilas pequeñas en forma de “tetera” (Fig. 3E1) *G. armigera* Moore, 1911 (C, B, P)
 – Con 33–40 setíferos unirrámeos; rea I con una línea de papilas pequeñas en forma de “tetera” (Fig. 3E1) *G. nordmanni* (Malmgren, 1866)³ (G)

Comentarios

- 1) *Glycinde pacifica* Monro, 1928 descrita para el Pacífico de Panamá y *Glycinde solitaria* (Webster, 1879) descrita para Cabo Cod y Cabo Hatteras (EUA) fueron sinonimizadas con *G. multident* Müller en Grube, 1858 por Böggemann (2005).
- 2) Böggemann (2005) revisó los materiales tipo de *Glycinde picta* y determinó que son idénticos a *G. polygnatha* Hartman, 1950, incluyendo los de *G. paucignatha* Hartmann–Schröder, 1959 para El Salvador, por lo que ambas especies son sinónimos menores de *G. picta*.
- 3) *Goniada oculata* Treadwell, 1901, descrita para Puerto Rico, fue sinonimizada con *Glycinde nordmanni* (Malmgren, 1866) por Böggemann (2005).

Goniada Audouin y Milne-Edwards, 1833

- 1 Notoseta acicular simple (no geniculada) (Fig. 6G) 2
 – Notoseta capilar (Fig. 6A) 7

- 2(1)** Notosetas aciculares situadas entre el cirro dorsal y el notopodio 3
 – Notosetas aciculares insertas de otro modo 5
- 3(2)** Con 41–150 pares de chevrones, con 33–40 setígeros unirrámeos; prostomio formado por 8–10 anillos *G. multidentata* Arwidsson, 1899 (C)
 – Menos de 30 pares de chevrones 4
- 4(3)** Macrognatos con 4 a 5 dientes; con 5–27 micrognatos dorsales de forma H+v/w y 4 alargados con punta bífida, 1–10 ventrales H+v/w; notopodio disminuye su tamaño hasta desaparecer en los parapodios posteriores; 39–55 setígeros unirrámeos, con algunas papilas cónicas a globulares con punta bífida (Fig. 5I) *G. bifida* Böggemann, 2005 (G)
 – Macrognatos con 3 a 6 dientes; con 4–35 micrognatos dorsales de forma H+v/w, 0–30 ventrales H+v/w; arco dorsal en ocasiones con 4 micrognatos largos con punta bífida. Notopodio presente a lo largo del cuerpo; 46–69 setígeros unirrámeos, papilas faríngeas sin el extremo superior bífido *G. emerita* Audouin & H Milne-Edwards, 1833 (C)
- 5(2)** Con 68–80 pares de chevrones; 34–52 setígeros unirrámeos; 3–6 macrognatos; con 8–21 micrognatos dorsales H+v/w, los ventrales 5–12 H+v/w
 *G. multidentopsis* Perkins, 1980 (G)
 – Menos de 30 pares de chevrones, notoseta acicular inserta dorsal al cirro dorsal, entre el cirro dorsal y el notopodio, y abajo del notopodio 6
- 6(5)** Prostomio con 11 anillos; papilas faríngeas ventrales pequeñas, en forma de corazón (Fig. 3A1) a globulares (Fig. 4B) *G. acicula* Hartman, 1940 (G, C, B, P)
 – Prostomio con 9–10 anillos; papilas faríngeas ventrales cónicas a globulares con punta bífida *G. teres* Treadwell, 1931 (G, C, P)
- 7(1)** Papilas faríngeas distales grandes en forma de cono 8
 – Todas las papilas faríngeas pequeñas 9
- 8(7)** Papilas faríngeas cónicas más o menos rectas; cirro dorsal foliáceo
 *G. foliacea* Moore, 1903¹ (B, P)
 – Papilas faríngeas cónicas con protuberancia distal; cirro dorsal digitiforme en parapodios anteriores y posteriores, los medios triangulares *G. echinulata* Grube, 1870²: (G, C, B, P)
- 9(7)** Micrognatos dorsales en forma de bastón con punta bífida (Fig. 5I) 10
 – Micrognatos dorsales compuestos en forma de H+v/w y algunos pequeños en forma de H o X (Fig. 5G)..... 13
- 10(9)** Lóbulo neuropodial presetal inferior desde el setígero 2–7 11
 – Lóbulo neuropodial presetal inferior desde el setígero 14–51 12
- 11(10)** Notopodio con un solo lóbulo, parte anterior del prostomio cónico; con 4–6 pares de chevrones; 4 micrognatos dorsales simples, el par superior recto, el inferior en forma de "Y" invertida (Fig. 5H), ambas con la punta bífida *G. virginii* Kinberg, 1866 (G)
 – Notopodio formado por un lóbulo pre y postsetal, parte anterior del prostomio recto; con 4–20 pares de chevrones; 4 micrognatos dorsales simples todos en forma de "Y" invertida con la punta bífida *G. brunnea* Treadwell, 1906 (G, B, P)

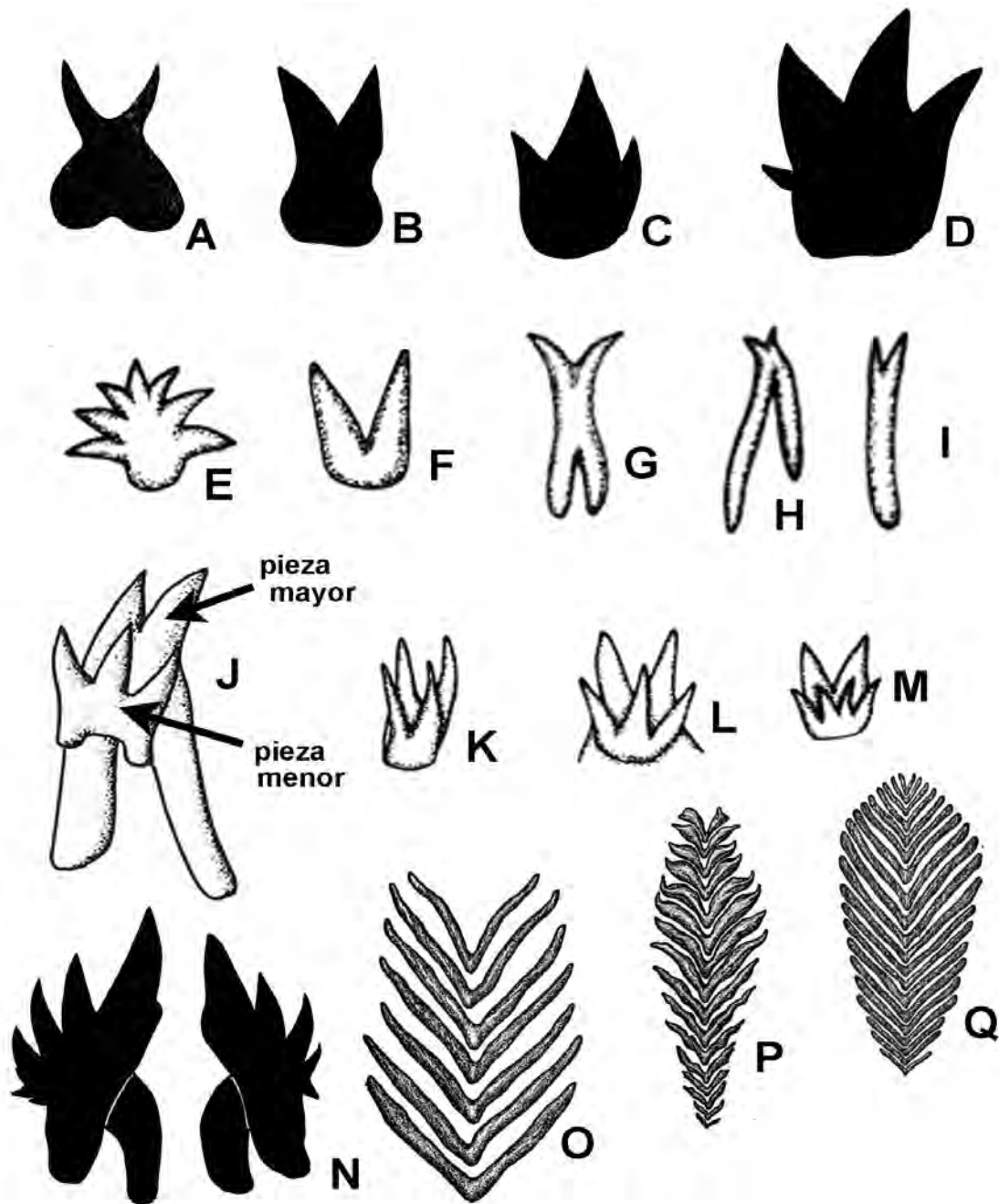


Figura 5. Micro, macrognatos y chevrones. A-I) Micrognatos simples, J-M) micrognatos compuestos, A) bidentado con dientes delgados (o en forma de "V"), B) bidentado con dientes gruesos (o en forma de "V"), C) tridentado, D) tetridentado, E) en forma de corona, F) bidentado o en forma de "V", G) en forma de "X", H) en forma de "Y" inversa, I) en forma de bastón con punta bífida, J) forma H+w, K) forma H+v, L) forma H+w, M) forma H+vv, N) par de macrognatos, O-P) chevrones. Modificadas de: A-D, J, N) Gallardo (1968); E-I, K-M) de León-González & García-Garza (2009); O-Q) Hartman (1950).

- 12(10)** Con 23–33 setíferos unirráneos; 7–15 pares de chevrones; 1–5 micrognatos compuestos en forma de H–v/w, las externas usualmente W o V+v/w
 *G. crudelis* (Kinberg, 1866) (G, P)
- Con 31–51 setíferos unirráneos; 3–11 pares de chevrones; 0–5 micrognatos ventrales compuestos en forma de H+v/w/vv, algunos W o vv+v/w/vv
 *G. maculata* Örsted, 1843 (C, B, P)
- 13(9)** Con 29–38 setíferos unirráneos, cirro dorsal digitiforme en todos los parapodios
 *G. norvegica* Örsted, 1845 (G)
- Con 45–69 setíferos unirráneos, cirro dorsal digitiforme anterior y posterior, en parapodios medios triangular *G. vorax* (Kinberg, 1866) (G)

Comentarios

- 1) *Goniada foliacea* fue referida al género *Ophioglycera* por Hartman (1950) con base a la ausencia de chevrones; Böggemann (2005) revisó el material tipo y adicional y encontró unas pequeñas placas quitinosas con chevrones en forma de corazón, por lo que la mantuvo en el género *Goniada*. Además, Böggemann (2005) sinonimizó *Goniada annulata* Moore, 1905, descrita de Alaska con *G. foliacea*, teniendo esta última prioridad.
- 2) *Goniada littorea* Hartman, 1950, una especie descrita para el Sur de California, fue referida a *G. echinulata* Grube, 1870 por Böggemann (2005).

Goniadella Hartman, 1950¹

- 1** Con 12–13 setíferos unirráneos; 5–11 micrognatos dorsales con fórmula H–h+v, 1–3 micrognatos ventrales con fórmula H+w; 6–24 chevrones
 *G. katherineae* Böggemann, 2005 (G, C)
- Con más de 19 setíferos unirráneos, micrognatos dorsales con fórmula H+v/w, o H+v **2**
- 2(1)** Con 19–20 setíferos unirráneos, 13–17 micrognatos dorsales con fórmula H+v/w, 3 micrognatos ventrales H+w; 13–22 chevrones *G. revizee* Rizzo y Amaral, 2004 (C)
- Con 26–30 setíferos unirráneos; 4–15 micrognatos dorsales con fórmula H+v; 0–3 micrognatos ventrales con fórmula H+v/w; 4–32 chevrones *G. gracilis* (Verrill, 1873) (P)

Comentario

- 1) La única diferencia entre las tres especies incluidas en la clave es el número de parapodios unirráneos, los demás caracteres presentan rangos sobrelapados.

Goniadides Hartmann–Schröder, 1960

- 1** Notosetas aciculares más o menos rectas; 12 a 31 setíferos unirráneos; sin micrognatos ventrales *G. falcigera* Hartmann–Schröder, 1962 (P)
- Notosetas aciculares con punta curva; 7–9 setíferos unirráneos; 0–3 micrognatos ventrales *G. carolinae* Day, 1973 (G, C)

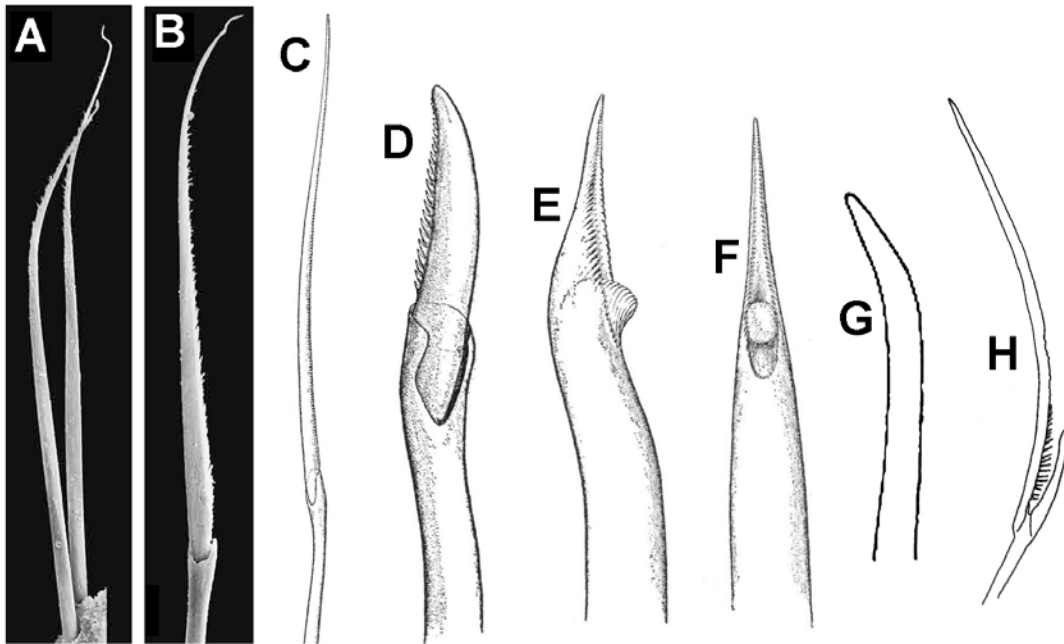


Figura 6. Setas en Goniadidae. A) Notosetas capilares en *Bathyglycinde*, B–C) neuroespiníferos, D) falcígero en *Goniadella*, E–F) notosetas aciculares en *Glycinde*, G) notoseta acicular en *Goniada*, H) neuroseta en forma de "lira" en *Ophiogoniada*. Modificadas de: A–B) Böggemann (2009), C–F) Hartman (1950), G) Hartman (1940); H) Granados-Barba & Solís-Weiss (1997).

Agradecimientos

Esta edición se realizó con el respaldo parcial del proyecto "Evaluación de poliquetos exóticos invasores en marinas y puertos de México" financiado por el Fondo Sectorial de Investigación Ambiental de SEMARNAT–CONACYT (A3–S–73811). Agradecemos las sugerencias de Alexandra E. Rizzo (Rio de Janeiro State University) y de Yasmín Dávila-Jiménez (Cinvestav Mérida).

Referencias

- Arwidsson I. 1899. Studien über die Familien Glyceridae und Goniadidae. Bergens Museums Aarbog 1898(11):1–69.
- Audouin JV & Milne Edwards H. 1833. [Part 3.] Classification des Annélides et description de celles qui habitent les côtes de la France. Ann Sci Nat, Paris (series 1) 29:195–269.
- Averincev VG. 1972. Benthic polychaetes Errantia from the Antarctic and Subantarctic collected by the Soviet Antarctic Expedition]. Issl fauny morei. Zool Inst Akad Nauk USSR 11(19):88–292.
- Berkeley E. 1927. Polychaetous annelids from the Nanaimo district. Part 3. Leodicidae to Spionidae. Contr Can Biol Fish 3(17):407–422.
- Böggemann M. 2005. Revision of the Goniadidae (Annelida, Polychaeta). Ab Natur Ver Hamb 39:1–354.
- Böggemann M. 2009. Polychaetes (Annelida) of the abyssal SE Atlantic. Org Div y Evol 9:251–428.
- Dales RP. 1962. The polychaete stomodeum and the interrelationships of the families of Polychaeta. Proc Zool Soc London 139(3):389–428.
- Day JH. 1973. New Polychaeta from Beaufort, with a key to all species recorded from North Carolina. NOAA Technical Reports, Ser. Nat Mar Fish Serv Circulars 375:1–140.
- de León-González JA & García-Garza ME. 2009. 20 Goniadidae Kinberg, 1866 In: Poliquetos (Annelida: Polychaeta) de México y de América Tropical. De León-González JA, JR Bastida-Zavala, LF Carrera-Parra, ME García-Garza, A Peña-Rivera, SI Salazar-Vallejo y V. Solís-Weiss (Eds). UANL, Monterrey, México. 1:217–225.
- Dean HK. 2012. A literature review of the Polychaeta of the Caribbean Sea. Zootaxa 3596:1–86.
- Díaz-Castañeda V, de León-González JA & Solana-Arellano E. 2014. Biodiversity of polychaete assemblages in a highly productive lagoon located in Baja California Sur, Mexico. Proc Biol Soc Wash 127(2):406–422.
- Díaz-Castañeda V & Valenzuela-Solano S. 2009. Polychaete fauna in the vicinity of bluefin tuna sea-

- cages in Ensenada, Baja California, Mexico. *Zoosymposia* 2:505–526.
- Domínguez–Castanedo N, Hernández–Alcántara P, Solís–Weiss V & Granados Barba A. 2012. Distribution of polychaete feeding guilds in sedimentary environments of the Campeche Bank, Southern Gulf of Mexico. *Helv Mar Res* 66:469–478.
- Fauchald K. 1972. Benthic polychaetous annelids from deep water off western Mexico and adjacent areas in the Eastern Pacific Ocean. *Allan Hancock Monographs in Mar Biol* 7:1–575.
- Fauchald K. 1977. The polychaete worms: Definitions and keys to the Orders, Families and Genera. *Nat Hist Mus Los Angeles Co, Sci Ser* 28:1–188.
- Fauchald K, Granados–Barba A & Solís–Weiss V. 2009. 37 Polychaeta (Annelida) of the Gulf of Mexico. In: Felder DL y DK Camp (eds) *Gulf of Mexico Origin, Waters, and Biota. Vol 1 Biodiversity*. Texas A&M University Press.
- Fauchald K & Rouse GW. 1997. Polychaete systematics: past and present. *Zool Scrip* 26:71–138.
- Gallardo VA. 1968 (1967). Polychaeta from the Bay of Nha Trang, South Viet Nam. *Naga Report*. 4(3):35–279.
- Granados-Barba A & Solís-Weiss V. 1997. The polychaetous annelids from oil platforms areas in the southeastern Gulf of Mexico: Phyllodocidae, Glyceridae, Goniadidae, Hesionidae, and Pilargidae, with description of *Ophioglycera lyra*, a new species, and comments on *Goniada distorta* Moore and *Scoloplos texana* Maciolek y Holland. *Proc Biol Soc Wash* 110(3):457–470.
- Grube AE. 1850. Die Familien der Anneliden. *Archiv für Naturgesch Jahrgang Berlin* 16(1):249–364.
- Grube AE. 1851. Die Familien der Anneliden mit Angabe ihrer Gattungen und Arten. Ein systematischer Versuch Berlin, 164 pp.
- Grube E. 1870. Bemerkungen über die Familie der Glycereen. *Jahres-Bericht der Schlesischen Gesellschaft für vaterländische Cultur Breslau* 47:56–68.
- Hartman O. 1940. Polychaetous annelids. Part II. Chrysopetalidae to Goniadidae. *Allan Hancock Pac Exped* 7(3):173–287.
- Hartman O. 1950. Goniadidae, Glyceridae and Nephtyidae. *Allan Hancock Pac Exped* 15:1–181.
- Hartman O. 1965. Deep-water benthic polychaetous annelids off New England to Bermuda and other North Atlantic areas. *Occ Papers Allan Hancock Found* 28:1–384.
- Hartman O & Fauchald K. 1971. Deep-water benthic polychaetous annelids off New England to Bermuda and other North Atlantic areas Part II. *Allan Hancock Monogr Mar Biol, Los Angeles, California* 6:1–327.
- Hartmann-Schröder G. 1959. Zur Ökologie der Polychaeten des Mangrove-Estero-Gebietes von El Salvador. *Beiträge zur Neotropischen Fauna Jena* 1(2):69–183.
- Hartmann-Schröder G. 1960. Polychaeten aus dem Roten Meer. *Kieler Meeresforschungen* 16(1):69–125.
- Hartmann-Schröder G. 1962. Zweiter Beitrag zur Polychaetenfauna von Peru. *Kieler Meeresforschungen* 18(1):109–147.
- Jumars PA, Dorgan KM & Lindsay SM. 2015. Diet of worms emended: an update of polychaete feeding guilds. *Ann Rev Mar Sci* 7:497–520.
- Kinberg JGH. 1866. *Annulata Nova. Continuatio. Öfversigt af Königlich Vetenskapsakademiens förhandlingar, Stockholm* 22(4):239–258.
- Malmgren AJ. 1866. *Nordiska Hafs-Annulater. Öfversigt af Königlich Vetenskapsakademiens förhandlingar, Stockholm* 22(5):355–410.
- Monro CCA. 1928. Papers from Dr. Th. Mortensen's Pacific Expedition 1914–16. XLV. On the polychaeta collected by Dr. Th. Mortensen off the coast of Panama. *Videnskabelige Meddelelser fra Dansk naturhistorisk Forening i København* 85:75–103.
- Moore JP. 1903. Polychaeta from the coastal slope of Japan and from Kamchatka and Bering Sea. *Proc Acad Nat Sci Phil* 55:401–490.
- Moore JP. 1905. New species of Polychaeta from the North Pacific, chiefly from Alaskan waters. *Proc Acad Nat Sci Phil* 57: 525–554.
- Moore JP. 1911. The polychaetous annelids dredged by the U.S.S. "Albatross" off the coast of Southern California in 1904. III. Euphrosynidae to Goniadidae *Proc Acad Nat Sci Phil*. 63:234–318.
- Müller F. 1858. Einiges über die Annelidenfauna der Insel Santa Catharina an der brasilianischen Küste. *Archiv für Naturg Berlin* 24(1):211–220.
- Örsted AS. 1843. *Annulorum danicorum conspectus. Auctore A.S. Örsted. Fasc. I. Maricolæ. (Quæstio ab universitate Hafniensi ad solvendum proposita et proemio ornata)*.
- Örsted AS. 1845. Fortegnelse over Dyr, samlede i Christianiafjord ved Drøbak fra 21–24 Juli, 1844. *Naturhistorisk Tidsskrift, Kjøbenhavn*. Ser. 2, 1:400–427.
- Perkins TH. 1980. Review of the species previously referred to *Ceratonereis mirabilis*, and descriptions of new species of *Ceratonereis*, *Nephtys*, and *Goniada* (Polychaeta). *Proc Biol Soc Wash* 93(1):1–49.
- Prado-Navarro A, Díaz-Castañeda V, Leija-Tristán A & de León-González JA. 2016. Composición y estructura de las comunidades de poliquetos (Annelida) asociadas a fondos blandos de la costa occidental de la península de Baja California, México. *Rev Mex Biod* 87:74–85.
- Purschke G. 1988. Pharynx; pp 177–197 In: *The Ultrastructure of the Polychaeta*. W Westheide W y CO Hermans (eds.). *Microfauna Marina* 4, Gustav Fischer Verlag, Stuttgart.
- Read G & Fauchald K. (Ed.) 2018. *World Polychaeta database*. *Ophiogoniada* Böggemann, 2005. Accessed at: <http://www.marinespecies.org/polychaeta/aphia.php?p=taxdetails&id=240602> on 2020-02-19

- Read G & Fauchald K. (Ed.) 2020. World Polychaeta database. Goniadidae Kinberg, 1866. Accessed through: World Register of Marine Species at: <http://www.marinespecies.org/aphia.php?p=taxde&tailsid=953> on 2020-01-16
- Reish DJ. 1963. A quantitative study of the benthic polychaetous annelids of Bahía de San Quintín, Baja California. *Pac Nat* 3(14):399-436.
- Rizzo AE & Amaral ACZ. 2004. *Bathyglycinde profunda* (Hartman y Fauchald) (Polychaeta, Goniadidae): new combination. *Rev Bras Zool* 21(4):937-942.
- Rouse GW & Fauchald K. 1997. Cladistics and polychaetes. *Zool Scrip* 26(2):139-204.
- Rouse GW & Pleijel F. 2001. Polychaetes. Oxford Univ. Press, Oxford, 354 pp.
- Rousset V, Pleijel F, Rouse GW, Erséus C & Siddall ME. 2007. A molecular phylogeny of annelids. *Cladistics* 23:41-63.
- Salazar-Vallejo SI & Londoño-Mesa MH. 2004. Lista de especies y bibliografía de poliquetos (Polychaeta) del Pacífico oriental tropical. *An Inst Biol Ser Zool UNAM* 75(1):9-97.
- Silberstein M. 1987. Feeding ecology of the polychaete worm *Glycinde polygnatha* Hartman 1950, an infaunal predator, with notes on life history. Ms thesis. San José, California. San José State University.
- Struck T. 2019. 2 Phylogeny. *In: Annelida, Handbook of Zoology, Vol. 1, Basal groups and Pleisto-Annelida, Sedentaria I.* Purschke G, Böggemann M, y Westheide W (eds). De Gruyter, Germany.
- Struck TH, Paul C, Hill N, Hartmann S & Hösel C 2011. Phylogenomic analyses unravel annelid evolution. *Nature* 470:95-8.
- Tovar-Hernández MA, Salazar-Silva P & de León-González JA. 2019. Lista faunística comentada de gusanos poliquetos en la bahía de La Paz, Baja California Sur, México (Annelida: Polychaeta) y nuevos registros. *Rev Mex Biod* 90:e902764.
- Treadwell AL. 1901 (1902). The Polychaetous annelids of Porto Rico. *Bull US Fish Comm.* 20(2):181-210.
- Treadwell AL. 1906. Polychaetous annelids of the Hawaiian Islands collected by the steamer Albatross in 1902. *Bull US Fish Comm* 23(3):1145-1181.
- Treadwell AL. 1931. New species of polychaetous annelids from California, Mexico, Porto Rico, and Jamaica. *Am Mus Nov* 482:1-7.
- Uschakov PV 1955. Monogoshchetinkovy chervi dal'nevostochnykh morei U.S.S.R. 1-445. Izdatel'stvo Akademii Nauk SSSR. Moscow y Leningrad.
- Verrill AE. 1873. XVIII. Report upon the invertebrate animals of Vineyard Sound and the adjacent waters, with an account of the physical characters of the region. *Report on the condition of the sea fisheries of the south coast of New England* 1:295-778.
- Villalobos Guerrero TF & Molina-Acevedo IC. 2014. Lista de especies y estado del conocimiento de los poliquetos (Annelida: Polychaeta de Sinaloa, Golfo de California. *Bol. Inst. Oceanogr. Venezuela* 53(1):79-109.
- Webster HE. 1879. Annelida Chaetopoda of New Jersey. *NY State Mus Nat Hist, Annual Report* 32:101-128.
- Whittle AC & Zahid ZR 1974 Fine structure of nuchal organs in some errant polychaetous annelids. *J Morph* 144(1):167-184.
- Wilson RS. 2000. Family Goniadidae. *In: Beesley PL, Ross GJ. y Glasby C. (Eds). Polychaetes y Allies: The Southern Synthesis. Fauna of Australia Vol. 4A. Polychaeta, Myzostomida, Pogonophora, Echiura, Sipuncula.* CSIRO Publishing: Melbourne, xii, 465 pp.
- Zrzavý J, Říha P, Piálek L & Janouškovec J. 2009. Phylogeny of Annelida (Lophotrochozoa): total evidence analysis of morphology and six genes. *BMC Evol Biol* 9:189, 14 pp.

TABLA. Especies de Goniadidae registradas en América tropical

ESPECIE	LOCALIDAD TIPO	REGISTROS
<i>Bathyglycinde lindbergi</i> ⁽¹⁾	Mar de Okhotsk, Rusia	P: México (Fauchald, 1972 como <i>B. cedroensis</i> ¹); Costa Rica, Colombia, Perú (Böggemann 2005).
<i>Bathyglycinde mexicana</i>	Farallón, Baja California Sur, México	P: México (Böggemann 2005).
<i>Bathyglycinde profunda</i>	norte de Bermuda (Mar de los Sargazos)	No hay registros posteriores a su descripción en América tropical.
<i>Bathyglycinde stepaniantsae</i>	Mac–Roberson Land, Antártida	P: Perú (Böggemann 2005).
<i>Glycinde armigera</i>	Monterey Bay y Sur de California, EUA	G: Golfo de México (Fauchald <i>et al.</i> 2009, listado). B: México (Böggemann 2005; Díaz–Castañeda <i>et al.</i> 2014). P: Ecuador, Costa Rica, Colombia, México, Panamá (Salazar–Vallejo & Londoño–Mesa 2004, listado; Böggemann 2005; México (Villalobos–Guerrero & Molina–Acevedo 2014, listado).
<i>Glycinde multidentis</i> ⁽²⁾	Zona económica exclusiva de Brasil	G: Florida, Alabama, Louisiana (EUA), México, Curaçao, Grenada, Guyana, Trinidad (Böggemann 2005; Fauchald <i>et al.</i> 2009, listado como <i>G. pacifica</i> y <i>G. solitaria</i> ; Dean 2012, listado). P: Costa Rica, Perú, México (Salazar–Vallejo y Londoño–Mesa 2004, listado, como <i>G. pacifica</i> o <i>G. solitaria</i>); Costa Rica, Panamá (Böggemann 2005); México (Villalobos–Guerrero & Molina–Acevedo 2014, listado, como <i>G. solitaria</i>).
<i>Glycinde nordmanni</i> ⁽³⁾	Bohuslän y Koster island, Suecia	C: Florida, Texas (EUA), Puerto Rico (Böggemann 2005); Golfo de México (Fauchald <i>et al.</i> 2009, listado).
<i>Glycinde picta</i> ⁽⁴⁾	Nanaimo, Columbia Británica, Canadá	B: México (Prado–Navarro <i>et al.</i> 2016, como <i>G. polygnatha</i>). P: México, El Salvador (Salazar–Vallejo & Londoño–Mesa 2004, listado, como <i>G. picta</i> , <i>G. polygnatha</i> y <i>G. paucignatha</i>). México (Villalobos–Guerrero & Molina–Acevedo 2014, listado).
<i>Goniada acicula</i>	Isla Ángel de la Guarda, Baja California, México	G Florida ((Böggemann 2005); Golfo de México (Fauchald <i>et al.</i> 2009, listado). C: Colombia, Panamá, Puerto Rico, Trinidad, Islas Vírgenes, Venezuela (Böggemann 2005; Dean 2012, listado). B: México (Díaz–Castañeda <i>et al.</i> 2014 como <i>G. aciculata</i> sic). P: México (Salazar–Vallejo & Londoño–Mesa 2004, listado; Böggemann 2005; Villalobos–Guerrero & Molina–Acevedo 2014, listado;

Tovar–Hernández *et al.* 2019, listado); Panamá (Böggemann 2005).

<i>Goniada bifida</i> ⁽⁵⁾	norte del Golfo de México, EUA	G: Florida, Alabama, Louisiana y Texas, EUA (Böggemann 2005)
<i>Goniada brunnea</i>	Hawaii, EUA	G: Golfo de México (Fauchald <i>et al.</i> 2009, listado). B: México (Böggemann 2005; Prado–Navarro <i>et al.</i> 2016). P: Costa Rica, México, Perú (Salazar–Vallejo & Londoño–Mesa 2004, listado); México (Böggemann 2005; Villalobos–Guerrero & Molina–Acevedo 2014, listado).
<i>Goniada crudelis</i>	Rio de Janeiro, Brasil	G: Florida y Texas (EUA); México (Böggemann 2005). P: Costa Rica, Panamá (Böggemann 2005).
<i>Goniada echinulata</i> ⁽⁶⁾	Zona económica exclusiva de Brasil	G: Florida, Alabama, Louisiana, Texas (Böggemann 2005; Dean 2012, listado). Golfo de México (Fauchald <i>et al.</i> 2009, listado, como <i>G. littorea</i>). C: Colombia, Trinidad, Venezuela (Böggemann 2005; Dean 2012, listado). B: San Diego (EUA) (Böggemann 2005); México (Reish 1963, Díaz–Castañeda & Valenzuela–Solano 2009). P: México (Salazar–Vallejo & Londoño–Mesa, 2004, listado, como <i>G. littorea</i>); Perú (Böggemann 2005).
<i>Goniada emerita</i>	Mediterráneo	C: Cuba (Dean 2012, listado).
<i>Goniada foliacea</i>	Sagami Bay, Japón	B: México (Böggemann 2005). P: México, Perú (Salazar–Vallejo & Londoño–Mesa 2004, listado, como <i>G. annulata</i>).
<i>Goniada maculata</i>	Prope Hellebaek, Dinamarca	C: República Dominicana, Puerto Rico, Colombia, Venezuela (Böggemann 2005); Golfo de México (Fauchald <i>et al.</i> 2009, listado). B: San Diego (Böggemann 2005); México (Díaz–Castañeda & Valenzuela–Solano 2009; Prado–Navarro <i>et al.</i> 2016). P: Colombia (Böggemann 2005).
<i>Goniada multidentata</i>	Zona Económica Exclusiva del Congo, África	C: Puerto Rico (Böggemann 2005).
<i>Goniada multidentopsis</i> ⁽⁷⁾	Hutchinson Island, Florida	G: Florida (Böggemann 2005).
<i>Goniada norvegica</i>	Christiani fjord, Noruega	G: Golfo de México (Fauchald <i>et al.</i> 2009, listado).

<i>Goniada teres</i>	Montego Bay, Jamaica	G: Florida (EUA); (Böggemann 2005); Golfo de México (Fauchald <i>et al.</i> 2009, listado). C: Panamá, Colombia (Böggemann 2005); P: Panamá (Böggemann 2005).
<i>Goniada virgini</i>	Rio de Janeiro, Brasil	G: Florida y Texas (EUA) (Böggemann 2005).
<i>Goniada vorax</i>	Zona económica exclusiva de Brasil	G: Florida (EUA); México (Böggemann 2005).
<i>Goniadella gracilis</i>	Massachusetts	P: México (Salazar-Vallejo & Londoño-Mesa 2004, listado).
<i>Goniadella katherineae</i> ⁽⁸⁾	Florida, EUA	G: Florida, Alabama (EUA), México (Böggemann 2005). C: Islas Vírgenes (Böggemann 2005).
<i>Goniadella revizee</i>	Brasil	C: Barbados (Böggemann 2005).
<i>Goniadides carolinae</i>	Carolina del Norte, EUA	G: Florida (EUA), México, (Böggemann 2005); Golfo de México (Fauchald <i>et al.</i> 2009, listado). C: Curaçao (Böggemann 2005). P: Costa Rica (Böggemann 2005).
<i>Goniadides falcigera</i> 1962	Zona económica exclusiva de Perú	P: No hay registros posteriores a su descripción en América tropical.
<i>Ophiogoniada lyra</i>	Sonda de Campeche, México	G: Alabama, Louisiana, Texas (EUA); México (Böggemann 2005; Golfo de México (Fauchald <i>et al.</i> 2009, listado); Domínguez-Castanedo <i>et al.</i> 2012).
<i>Progoniada regularis</i>	Bermuda	No hay registros posteriores a su descripción en América tropical.
